



Antimicrobial and Antioxidant Effects of Sage Seed Gum Film Incorporated with *Laurus nobilis* Essential Oil Nanoemulsion

H. Taghvatalab¹, D. Jafarpour^{2*}

1 and 2- M.Sc. Graduated and Assistant Professor, Department of Food Science and Technology, Fasa Branch, Islamic Azad University, Fasa, Iran, respectively.

(*- Corresponding Author Email: Do.Jafarpour@iau.ac.ir)

Received: 14.05.2024

Revised: 14.06.2024

Accepted: 04.07.2024

Available Online: 04.07.2024

How to cite this article:

Taghvatalab, H., & Jafarpour, D. (2024). Antimicrobial and antioxidant effects of sage seed gum film incorporated with *Laurus nobilis* essential oil nanoemulsion. *Iranian Food Science and Technology Research Journal*, 20(5), 607-620. (In Persian with English abstract). <https://doi.org/10.22067/ifstrj.2024.88064.1332>

Introduction

Scientific evidence is mounting that synthetic chemicals used as food additives may have harmful impacts on health and the biological system and cause many diseases and damages to the human body. Also, many consumers are concerned about the use of artificial ingredients to maintain the quality and safety of foods. Therefore, the use of natural preservatives and food preservation methods based on natural compounds have attracted the attention of researchers. Edible films and coatings are useful materials, mainly produced from biodegradable polymers including polysaccharides (gums), proteins, and lipids, and are commonly used for the shelf life extension of foods. The primary edible films /coatings are promising alternative methods to preserve, and retard the adverse chemical reactions and microbial growth. They also can act as a carrier of antimicrobials, antioxidant substances, and other additives. Sage seed gum (SSG) is a water-soluble polysaccharide obtained from Sage (*Salvia macrosiphon*). It is an environmentally-friendly biodegradable material that can form high-viscosity aqueous solution and exhibit pseudoplastic behavior. Essential oils (EOs) are volatile and aromatic oily liquids extracted from various plants. Most of the EOs have antimicrobial and antioxidant activities due to their phenolic compounds, terpenes and terpenoids. A promising technique is incorporating EOs into coating solutions as active film/coating to extend the shelf life of food products. Bay leaf (*Laurus nobilis*) is an aromatic evergreen tree or large shrub with green, glabrous leaves. It is used as a flavoring agent and an essential ingredient in food preparation. Bay leaf has received much attention due to its antimicrobial, antioxidant, anti-inflammatory and immune system stimulating properties. Hence, the aim of the present study was to evaluate the antimicrobial and antioxidant properties of SSG coating incorporated with different concentrations of bay leaf EO (BLEO) and its nanoemulsion (BLNEO).

Materials and Methods

The active packaging was produced based on the gum of sage seed containing BLEO and BLNEO. After preparing the EO from bay leaves, their corresponding NEO was produced and the characterization of nanoparticles was evaluated in terms of droplet size, polydispersity index (PDI) and zeta potentials. Then, the antimicrobial and antioxidant properties of BLEO and BLNEO were compared. After that, SSG coatings were prepared with 1.5% and 3% BLEO and their corresponding NEO forms. Subsequently, the antioxidant (DPPH and ABTS) and antimicrobial (against *Bacillus cereus*, and *Staphylococcus aureus*, *Pseudomonas aeruginosa*, and *Escherichia coli*) properties of the produced films were investigated.

Results and Discussion

Gas chromatography-mass spectrometry (GC-MS) identified 1,8-Cineole and α - Terpinyl acetate as the major components of BLEO. The BLNEO exhibited a droplet size of approximately 92.4 nm and a zeta potential



©2024 The author(s). This is an open access article distributed under Creative Commons Attribution 4.0 International License (CC BY 4.0).

<https://doi.org/10.22067/ifstrj.2024.88064.1332>

of -45.1 mV. In comparison to the control and SSG, it was found that the group comprising EO and NEO significantly ($p<0.05$) showed superior free radical scavenging capacity. SSG-3% BLNEO had the highest DPPH inhibition percentage (69.54%). According to the results, EO at the nanoscale can scavenge more free radicals than EO ($p<0.05$). Antimicrobial inhibition zone of different treatments against selected gram positive and gram negative bacteria showed that all bacteria were strongly inhibited after the addition of BLEO into the SSG. Moreover, data revealed that the growth of the studied pathogens was completely inhibited in a dose-dependent manner ($p<0.05$). SSG-BLNEO exhibited better antimicrobial activity than SSG-BLEO coating and its antimicrobial activity was significantly enhanced by increasing BLNEO concentration ($p<0.05$). This phenomenon is attributed to the protective role of encapsulation and the slow release of EO from the coating matrix, resulting in enhanced antimicrobial activity. Nanoemulsions, owing to their small droplet size and high surface area, offer superior efficacy compared to conventional emulsions. Consequently, the gradual release of essential oils from nanoemulsion-based edible coatings contributes to their enhanced antimicrobial performance.

Conclusion

These findings suggest that the SSG-BLNEO edible active coating possesses promising applications as an antimicrobial and antioxidant agent for food packaging applications.

Keywords: Antioxidant properties, Bay leaf essential oil, Nanoemulsion, Sage seed gum

مقاله پژوهشی

جلد ۲۰، شماره ۵، آذر-دی ۱۴۰۳، ص. ۶۰۷-۶۲۰

ارزیابی اثرات ضدمیکروبی و آنتی اکسیدانی فیلم تهیه شده از صمغ دانه مرو حاوی نانوامولسیون اسانس برگ بو (*Laurus nobilis*)

حديث تقواطلب^۱ - درنوش جعفرپور*

تاریخ دریافت: ۱۴۰۳/۰۲/۲۵

تاریخ پذیرش: ۱۴۰۳/۰۴/۱۴

چکیده

در سال‌های اخیر افزودن نگهدارنده‌های شیمیایی باعث ایجاد بیماری‌های بسیاری شده است. همچنین بسیاری از مصرف‌کنندگان نگران استفاده از مواد مصنوعی برای حفظ کیفیت و ایمنی غذا هستند. از این رو، این مطالعه با هدف تولید یک نوع فیلم فعال بر پایه صمغ دانه مرو حاوی اسانس و نانوامولسیون اسانس برگ بو انجام شد. پس از تهیه اسانس برگ بو، نانوامولسیون آن تولید و از نظر اندازه و توزیع ذرات بررسی شد. به فیلم صمغ دانه مرو، اسانس و نانوامولسیون اسانس برگ بو در غلظت‌های ۱/۵ و ۳ درصد افزوده و خواص آنتی‌اکسیدانی و ضدمیکروبی فیلم‌های تولیدی مورد بررسی قرار گرفتند. متوسط قطر ذرات نانوامولسیون اسانس ۹۲/۴ نانومتر و پتانسیل زتا ۴۵/۱-۴۵/۱ میلی‌ولت بدست آمد. نتایج نشان داد که فیلم حاوی نانوامولسیون اسانس در مهار رشد باکتریایی مؤثرتر از فیلم حاوی اسانس بود و استافیلوکوکوس اورئوس به عنوان حساس‌ترین باکتری و اشیشیا کلی به عنوان مقاوم‌ترین باکتری شناسایی گردید. فیلم حاوی اسانس و نانوامولسیون اسانس ویژگی‌های آنتی‌اکسیدانی خوبی را نسبت به نمونه شاهد ($P < 0.05$) نشان دادند به طوری که فیلم حاوی ۳٪ نانوامولسیون اسانس، بالاترین فعالیت مهار رادیکال‌های آزاد داشت. نتایج این مطالعه تأیید کرد که فیلم‌های تهیه شده از صمغ دانه مرو حاوی اسانس و نانوامولسیون اسانس برگ بو می‌توانند به طور بالقوه به عنوان بسته‌بندی فعال با خواص ضدمیکروبی و آنتی‌اکسیدانی مورد استفاده قرار گیرند.

واژه‌های کلیدی: اسانس برگ بو، خواص آنتی‌اکسیدانی، صمغ دانه مرو، نانوامولسیون

امروز فیلم‌های زیست‌تخریب پذیر از (Jouki et al., 2013)

مقدمه

پروتئین‌ها، لیپیدها و پلی‌ساقاریدها و یا ترکیبی از آن‌ها تهیه می‌شود. صمغ حاصل از دانه مرو، یک صمغ آنیونی از نوع گالاکتونان (نسبت مانوز به گالاکتوز ۱:۱/۹۸-۱/۷۸)، با وزن مولکولی متوسط (۴۰۰ کیلو دالتون) و پیکره سفت میله‌مانند است و حاوی ۳۲/۲-۲۸/۲٪ اسید ارونیک بوده که بیانگر ماهیت پلی‌الکترولیتی آن می‌باشد. این صمغ یک پلی‌ساقارید محلول در آب بوده که از دانه‌های گیاه مرو متعلق به جنس *Salvia macrosiphon* و خانواده Labiateae بdst است. امده و به عنوان فیلم خوراکی استفاده می‌شود. بالا بودن ویسکوزیته، تنفس تسیلیم و رفتار شدیداً سودوپلاستیک صمغ دانه مرو در غلظت‌ها و دماهای مختلف، نشان می‌دهد که این صمغ جدید ویژگی‌های کاری خوبی را به عنوان یک پایدارکننده، غلیظکننده، پیونددهنده و ژلی کننده، در سیستم‌های غذایی، دارویی و آرایشی بهداشتی بdst می‌دهد (Mu et al., 2012). این دانه به دلیل تولید موسیلانز فراوان،

امروزه مصرف‌کنندگان نگران استفاده از ترکیبات مصنوعی به عنوان افزودنی برای حفظ محصولات غذایی هستند. علاوه بر این، صنایع غذایی از محصولات طبیعی دارای فعالیت ضدمیکروبی به منظور حفظ کیفیت مواد غذایی بدون تأثیر بر مصرف‌کنندگان استقبال می‌کند (da Silva Dannenberg et al., 2017). فیلم‌های خوراکی مانند اسانس که حاوی ترکیبات ضدمیکروبی طبیعی هستند، به عنوان بسته‌بندی عالی برای نگهداری مواد غذایی در نظر گرفته می‌شوند. امروزه به دلیل تجزیه‌ناپذیری مواد بسته‌بندی مصنوعی، تمایل محققان به منابع طبیعی برای تولید فیلم‌های خوراکی افزایش یافته است

۱ و ۲- بهتریب دانش‌آموخته کارشناسی ارشد و استادیار، گروه علوم و مهندسی صنایع غذایی، واحد فسا، دانشگاه آزاد اسلامی، فسا، ایران
(*- نویسنده مسئول: Do.Jafarpour@iau.ac.ir)
<https://doi.org/10.22067/ifstrj.2024.88064.1332>

مرور پژوهش‌های پیشین نشان می‌دهد که اسانس برگ بو علی رغم اثر ضدمیکروبی و آنتی‌اکسیدانی مطلوب تاکنون در فیلم فعال حاصل از صمغ دانه مرو بکار نرفته است، از این رو در این پژوهش علاوه بر بررسی خصوصیات آنتی‌اکسیدانی و ضدمیکروبی اسانس و نانومولسیون اسانس برگ بو، تأثیر آن‌ها در فیلم‌های تولیدی نیز بررسی خواهد شد.

مواد و روش‌ها

تهیه برگ بو

گیاه برگ بو بصورت خشک از یکی از عطاری‌های معتبر شهرستان فسا خریداری شد.

اسانس‌گیری

جهت تهیه اسانس، ۶۰ گرم از برگ بوی آسیاب شده، در یک بالن یک لیتری قرار داده شد. ۶۰۰ میلی‌لیتر آب مقطور به بالن اضافه و به دستگاه کلونجر متصل شد. تقطیر به مدت ۲ ساعت و ۳۰ دقیقه انجام شد. بازده اسانس تولیدی ۱/۶ درصد بدست آمد (بدین طریق که به ازای هر ۶۰ گرم برگ بو آسیاب شده، ۱۵ اسانس گرفته شد).

شناختی ترکیبات اسانس

به منظور شناسایی ترکیب‌های اسانس، از دستگاه کروماتوگرافی گازی متصل به طیفسنج جرمی (GC/MS¹) استفاده شد. این دستگاه مجهز به ستون موئینه DB-5 ms EVDX ۰/۳۲۰ mm × ۶۰ mm و همچنین دکتور Hewlett- Packard ۵۹۷۳ بود. برنامه- ریزی حرارتی ستون به شرح زیر بود: گاز حامل با سرعت جریان ۱/۵ میلی‌لیتر بر دقیقه، سرعت تزریق یک میکرولیتر و نسبت شکاف نمونه ۱ به ۲۰، دمای اولیه ۱۰۰ درجه سلسیوس به مدت ۵ دقیقه، اولین افزایش دما تا ۱۳۰ درجه سلسیوس با گردایان دمایی ۱۰ درجه سلسیوس بر دقیقه، دومین افزایش دما تا ۲۷۰ درجه سلسیوس به مدت ۳ دقیقه تنظیم شد (Sajjadi et al., 2020).

تهیه نانومولسیون اسانس

تهیه نانومولسیون اسانس برگ بو طبق روش خودری و رومیانی (Khodri & Romiani, 2019)، با کمی تغییرات انجام شد. برای آماده‌سازی نانومولسیون از آب مقطر، ۲ درصد اسانس برگ بو و ۲ درصد امولسیفایر توئین ۸۰ به عنوان سورفتانت استفاده گردید. به این ترتیب که ترکیب هر سه با استفاده از همزن مگنت‌دار با ۸۰۰ دور در دقیقه به مدت ۴۰ دقیقه انجام شد. محلول تهیه شده در دمای اتاق نگهداری شد.

در فرمول چهار تخمه که جهت برطرف کردن خارش‌های گلو و سرفه استفاده می‌شود کاربرد سنتی دارد (Mirzai & Mohammadi Sani, 2017).

گیاهان تیره برگ بو به صورت درخت یا درختچه بوده و مخصوص نواحی گرم کره زمین هستند. برگ بو معمولاً در نواحی گرم و مناطقی با اقلیم گرم و بارندگی زیاد یافت می‌شود. گیاهان این تیره دارای سلول‌های اسانس‌دار پراکنده در اعضای مختلف و سلول‌های موسیله‌دار، مخصوصاً در ناحیه پوست هستند. از نظر درمانی خواص عده‌ای از این گیاهان مربوط به وجود اسانس‌ها در بخش‌های مختلف آن‌ها می‌باشد. برگ بو جز گیاهان معطر و دارویی می‌باشد و اسانس موجود در برگ‌های آن دارای خواص ضدمیکروبی و ضدبacterیالی و آنتی‌اکسیدانی می‌باشد. امروزه از برگ بو علاوه بر چاشنی غذا و ماده معطر در صنعت داروسازی و فرمولاسیون دارو مورد استفاده قرار می‌گیرد (Naderi Hagibaghercandi et al., 2009). از جمله ترکیبات طبیعی که بعنوان نگهدارنده در مواد غذایی بکار می‌روند، می‌توان به اسانس‌های گیاهی اشاره کرد. به دلیل وجود ترکیبات فنلی، ترپن‌ها و ترپنوتیدها، بسیاری از اسانس‌ها خواص ضدمیکروبی و آنتی‌اکسیدانی از خود نشان می‌دهند (Gholamhosseinpour et al., 2023). یکی از زمینه‌های کاربرد نانو در صنایع غذایی درونپوشانی کردن ترکیبات حساس به شرایط محیطی و یا ترکیبات فرار از جمله اسانس‌های گیاهی می‌باشد. نانومولسیون‌ها را می‌توان به عنوان امولسیون‌های روغن در آب (O/W) تعریف کرد که از نظر ترمودینامیکی پایدار و بر خلاف میکروامولسیون‌ها از نظر جنبشی پایدار هستند و تشکیل آن‌ها به انرژی مکانیکی شدید نیاز دارد. معمولاً اندازه متوسط قطرات بین ۵۰ تا ۲۰۰ نانومتر است (Stubenrauch, 2009). مطالعات اخیر نشان می‌دهد که اندازه ذرات لیپیدی کوچک در نانومولسیون‌ها خواص فیزیکوشیمیایی لا یه‌ها را افزایش می‌دهد و ممکن است فعالیت بیولوژیکی ترکیبات چربی دوست را بهبود بخشد (Badr et Galus & Kadzinska, 2015).

نانومولسیون‌ها به دلیل اندازه قطرات کوچکشان از نظر نوری شفاف یا نیمه شفاف هستند و پایداری ترمودینامیکی بالایی در برابر رسوب و تجمع نشان می‌دهند. ذرات نانومولسیون از نظر ترمودینامیکی به سمت ارگانیسم‌هایی که ساختار لیپیدی در غشاهای خود دارند می‌شوند و این اتصال با گرانش الکترواستاتیکی بین بارهای کاتیونی ذرات نانومولسیون و بارهای آئیونی غشای بیرونی میکرووارگانیسم‌ها بهبود می‌یابد. هنگامی که نانومولسیون به پاتوژن متصل می‌شود، انرژی آن آزاد می‌شود. بنابراین غشای لیپیدی پاتوژن ناپایدار شده و باعث هضم و مرگ سلولی می‌شود. این یکی از مکانیسم‌های ضدمیکروبی اصلی نانومولسیون‌ها است (Azizkhani et al., 2021).

(MBC³) از میکرودایلوشن با استفاده از میکروپلیت ۹۶ خانه‌ای استریل انجام شد. نمونه‌های باکتری ۲۴ ساعت پیش از انجام آزمایش، در محیط کشت ³BHT براث کشت داده شد و در دمای ۳۷ درجه سلسیوس انکوبه گردید. محلول اصلی اسانس یا نانومولسیون اسانس با رقت ۱۵۰ میلی‌گرم بر میلی‌لیتر توسط دی متیل سولفوكساید تهیه شد. ابتدا در هر چاهک میکروپلیت ۱۰۰ میکروپلیت محبیت کشت BHT براث ریخته شد. سپس در در ۹ چاهک اسانس و نانومولسیون اسانس را راقیق‌سازی انجام شد. به چاهک شاهد باکتری اسانس یا نانومولسیون اسانس اضافه نشد. پس از کشت ۲۴ ساعته باکتری‌های مورد نظر آماده شده رقت 10^6 CFU mL^{-1} تهیه شد و در تمامی چاهک‌ها به جز شاهد اسانس یا نانومولسیون اسانس، ۱۰۰ میکرولیتر از سوسپانسیون ریخته شد. پس از طی زمان انکوباسیون چاهک‌ها از نظر کدورت و رشد باکتری بررسی شدند. کمترین رقت اسانس و نانومولسیون اسانس برگ بو که در آن کدورت مشاهده نشد به عنوان MIC در نظر گرفته شد. برای تعیین حداقل غلظت کشنندگی اسانس و نانومولسیون اسانس برگ بو از چاهک‌هایی که در آن‌ها عدم رشد مشاهده شده بود، ۵ میکرولیتر برداشته در سطح محیط کشت BHT آگار کشت داده شد. محیط‌های کشت تلقیح شده به مدت ۲۴ ساعت در دمای ۳۷ درجه سلسیوس گرمخانه‌گذاری شدند. پلیت مربوط به چاهکی که حاوی کمترین غلظت اسانس یا نانومولسیون اسانس بود که در آن رشد باکتری مشاهده نگردید به عنوان MBC اسانس یا نانومولسیون اسانس در نظر گرفته شد.

ارزیابی اثرات آنتی اکسیدانی اسانس و نانومولسیون اسانس

فعالیت مهار رادیکال آزاد DPPH

فعالیت مهار رادیکال اسانس برگ بو و نانومولسیون با استفاده از DPPH (2,2-diphenyl-1-picrylhydrazyl) رادیکال چربی دوست آزاد پایدار ارزیابی شد. محلول DPPH (۱۰۰ میلی‌مولا) در مтанول ۹۵ درصد تهیه و ۱ میلی‌لیتر از این محلول به ۳/۰ میلی‌لیتر اسانس برگ بو و نانومولسیون در غلظت‌های مختلف (در $10\text{-}0.5 \mu\text{g mL}^{-1}$) اضافه شد و مخلوط در تاریکی نگهداری شد. در دمای محیط به مدت ۲ ساعت جذب (A) در طول موج ۵۱۷ نانومتر با استفاده از اسپکتروفوتومتر UV-vis، اندازه‌گیری شد نانومولسیون به عنوان کنترل منفی استفاده شد. آسید گالیک به عنوان استاندارد در نظر گرفته و IC₅₀ محاسبه شد. IC₅₀ یا غلظت نیمه حداکثر بازدارنده به عنوان غلظت ترکیبی تعریف شد که می‌تواند ۵۰٪

ارزیابی توزیع اندازه ذرات

ابزار پراکنده دینامیکی نور (DLS) برای تعیین شدت میانگین اندازه قطرات در ۲۵ درجه سلسیوس و زاویه پراکنده ۹۰ درجه استفاده شد. span (عرض توزیع) با استفاده از رابطه (۱) تعیین شد:

$$(1) \quad \text{Span} = (d90 - d10)/d50$$

که در آن $d10$ و $d90$ اندازه ذرات مربوط به شدت ۱۰، ۱۰۰ و ۹۰ درصد در منحنی توزیع اندازه ذرات تجمعی نسبی هستند (Gahrue et al., 2017).

ارزیابی اثرات ضدمیکروبی اسانس و نانومولسیون اسانس

ارزیابی خصوصیت ضدباکتریایی اسانس و نانومولسیون اسانس به روش انتشار چاهک

برای تجزیه و تحلیل فعالیت ضدمیکروبی اثرات اسانس و نانومولسیون اسانس برگ بو، از باکتری‌های استافیلوکوکوس اورئوس، پاپیلوس سرئوس، اشریشیاکلای و سودوموناس آنروئینوزا و به روش انتشار چاهک انجام شد. باکتری‌های گرم مثبت و گرم منفی فوق مهم‌ترین باکتری‌هایی هستند که باعث مسمومیت و فساد مواد غذایی می‌شوند. به منظور تهیه سوسپانسیون میکروبی از کشت تازه و جوان باکتری چند کلونی با محیط کشت نوترینت براث کشت داده شد. سوسپانسیون باکتری معادل استاندارد نیم مک فارلند در محلول سرم فیزیولوژی استریل تهیه و بعد از رقت سازی مقدار 10^6 CFU mL^{-1} از سوسپانسیون باکتری تهیه شد. ۱۰۰ میکرولیتر از سوسپانسیون باکتری کشت داده شد. پس از ایجاد چاهک، ۶۰ میکرولیتر از محلول حاوی اسانس یا نانومولسیون اسانس برگ بو به صورت کاملا استریل به چاهک‌ها انتقال داده و پلیت‌های حاوی آگار در دمای ۳۷ درجه سلسیوس و به مدت ۲۴ ساعت گرمخانه‌گذاری شد. پس از طی این مدت کشت‌های باکتریایی از نظر تشکیل شدن یا تشکیل نشدن هاله عدم رشد، بررسی و قطر هاله عدم رشد بر حسب میلی‌متر توسط کولیس اندازه-گیری شد (Jafarpour et al., 2021b).

حداقل غلظت بازدارنده و حداقل غلظت کشنندگی اسانس و نانومولسیون اسانس

فعالیت ضدباکتریایی اسانس برگ بو و نانومولسیون آن، با تعیین حداقل غلظت بازدارنده (MIC¹) و حداقل غلظت باکتری کش

1- Minimum Bactericidal Concentration

2- Minimum Inhibitory Concentration

3- Butylated hydroxytoluene

10^6 CFU ml^{-1} باکتری آزمایشی تلقیح شده بودند قرار داده شد. پس از ۴۸ ساعت انکوباسیون در دمای ۳۷ درجه سلسیوس، قطر مناطق بازدارنده توسط کولیس با دقیقه ۰/۰۲ میلی‌متر تعیین شد.
[\(Mohammadi et al., 2023\)](#)

از رادیکال های آزاد DPPH را در روش مهار رادیکال آزاد DPPH حذف کند. درصد فعالیت آنتی‌اکسیدانی با استفاده از فرمول زیر محاسبه شد (Jafarpour, 2022):

$$\text{Antioxidant activity} = [(A_{\text{control}} - A_{\text{sample}}) / A_{\text{control}}] \times 100 \quad (2)$$

ارزیابی خواص آنتی‌اکسیدانی فیلم آزمون DPPH

به طور خلاصه، ۲۵ میلی‌گرم از نمونه فیلم با هم زدن مدام در ۵ میلی‌لیتر آب مقطر حل شد. ۱۰ میلی‌لیتر از محلول مذکور با ۳/۹ میلی‌لیتر محلول متانول DPPH (۱۰ میلی‌مولار) مخلوط شد. مخلوط حاصل به مدت ۶۰ دقیقه در دمای محيط در تاریکی نگهداری شده و سپس جذب در طول موج ۵۱۷ نانومتر در برابر محلول متانول DPPH به صورت خالی قرائت شد (Jafarpour et al., 2021).

روش رادیکال کاتیون ABTS

روش رادیکال کاتیون ABTS بر مبنای احیای رادیکال کاتیون ABTS بوده که جذب بالایی در ۷۳۴ نانومتر دارد. ابتدا محلول‌های پایه شامل ABTS و پتاسیم پرسولفات تهیه شد و در ادامه محلول اصلی ABTS به وسیله مخلوط کردن دو محلول پایه به مقدار مساوی با یکدیگر، تهیه شده، در ادامه این مخلوط در دمای اتاق و محیط تاریک به مدت ۱۶ ساعت به منظور تکمیل واکنش نگهداری شد. محلول تهیه شده برای رسیدن جذب نوری به ۰/۷ در طول موج ۷۳۴ نانومتر با اثانول رقیق شد. به ۲ میلی‌لیتر از غلظت‌های ۰/۵، ۱، ۲، ۰/۰۵ و ۰/۰۱۲۵ میلی‌گرم بر میلی‌لیتر اسانس، عصاره و BHT اضافه شد و بعد از نگهداری به مدت ۶ دقیقه در تاریکی، جذب نوری نمونه‌ها در ۷۳۴ نانومتر اندازه‌گیری شد. درصد بازدارندگی نمونه‌ها را از رابطه ۴ محاسبه و به صورت ظرفیت آنتی‌اکسیدانی معادل اسید آسکوربیک گزارش شد (Alizadeh Amoli et al., 2021):

$$x\% = \frac{A_{\text{blank}} - A_{\text{sample}}}{A_{\text{blank}}} \times 100 \quad (4)$$

در این فرمول Ablank میزان جذب نوری کنترل را نشان می‌دهد و Asample بیانگر قدرت جذب نوری غلظت‌های مختلف اسانس و نانومولسیون گیاه است.

آنالیز آماری

آزمایشات در سه تکرار در قالب طرح کاملاً تصادفی انجام شد. نتایج ابتدا در معرض تجزیه واریانس یکطرفه قرار گرفت و سپس برای مقایسه میانگین‌ها و بررسی اختلاف معنی‌داری بین تیمارها از آزمون چند دامنه‌ای دانکن در سطح معنی‌داری ۹۵٪ استفاده گردد.

سنجد قدرت آنتی‌اکسیدانی کاهش دهنده آهن (FRAP) پتانسیل کاهش آهن با استفاده از روش بنزی و استرین (Benzie & Strain, 1996) اندازه‌گیری شد. محلول استوک معرف (TPTZ) ۰/۳ میلی‌مولار بافر استات (FeCl₃) ۲۰ میلی‌مولار در آب و ۱۰ میلی‌مولار (تری پیریدیل) ۱،۳،۵-تریازین (TPTZ) محلول در ۴۰ mM HCl در ۴۰ لیتر اسانس برگ بو و نانومولسیون در غلظت‌های مختلف ($\mu\text{g mL}^{-1}$ ۰/۰ – ۱۰) اضافه شد. جذب پس از ۳۰ دقیقه انکوباسیون در دمای ۳۷ درجه سلسیوس در طول موج ۵۹۵ نانومتر ثبت شد. کاهش کمپلکس تری پیریدیل تریازین آهن (Fe³⁺ TPTZ) به آهنه (Fe²⁺) منجر به رنگ آبی شدید شد. منحنی کالیبراسیون با استفاده از FeSO₄ در محدوده غلظت μM ۱۰۰۰–۱۰۰ رسم شد. آزمایش در سه تکرار صورت پذیرفت و FRAP بر اساس معادله ۳ محاسبه شد (Azizkhani et al., 2021):

$$\text{FRAP} = (\Delta A_{\text{sample}} / \Delta A_{\text{standard}}) \times \text{FRAP value of standard} \quad (5)$$

آماده‌سازی فیلم

تهیه فیلم صمغ دانه مرو طبق روش ونت نیمیت کول و همکاران (Wongnimitkul et al., 2009) با کمی تغییرات انجام شد. این فیلم با ترکیب پودر صمغ دانه مرو، KOH ۰/۵M و گلیسرول به ترتیب با مقدار ۰/۹، ۰/۱۴ و ۰/۵٪ تهیه شد. امولسیون به مدت ۲ ساعت در حمام آب کنترل شده در دمای ۳۰ درجه سلسیوس به خوبی هم زده شد. سپس، غلظت‌های ۱/۵ و ۳٪ اسانس برگ بو و نانومولسیون اسانس برگ بو به فیلم اضافه شد.

ارزیابی اثرات ضدمیکروبی فیلم

فعالیت ضدمیکروبی نمونه‌ها با استفاده از روش انتشار دیسک آگار و بر علیه/شريشياکلي، سودوموناس آئروبرينوز، باسيلوس سرئوس، استافيلوكوكوس اورئوس ارزیابی شد. نمونه‌های فیلم به صورت آسپتیک به دیسک‌های دایره‌ای (قطر ۶ میلی‌متر) بریده شدند. سپس روی صفحات MHA که قبلًا با ۱۰۰ میکرولیتر MHB حاوی

1- Mueller-Hinton agar

ارزیابی توزیع اندازه ذرات (متوسط قطر، توزیع اندازه ذرات)

متوسط قطر اندازه ذرات نانومولسیون و PDI و پتانسیل زتا آنها در [جدول ۲](#) نشان داده شده است. نتایج نشان داد که اندازه قطرات نانومولسیون ۹۲/۴ نانومتر است و پتانسیل زتا آن -۴۵/۱ می باشد، همچنین نانومولسیون های روغن برگ بو دارای پایداری فیزیکی بالایی هستند. نتایج مشابه ای توسط قوش و همکاران ([Ghosh et al., 2013](#)) برای نانومولسیون روغن ریحان فرموله شده با استفاده از Tween80 و آب به روش امولسیون اولتراسونیک گزارش شده است. در حالی که سورینو و همکاران ([Severino et al., 2015](#)) نانومولسیون های بارگذاری شده را با استفاده از 20 Tween تهیه کرده و میانگین اندازه قطرات را در محدوده ۱۷۶/۴ - ۱۳۳/۴ نانومتر گزارش کردن. این تفاوت ها با نتایج تحقیق حاضر نشان می دهد که Tween 80 برای امولسیون های روغن در آب به دلیل تعادل آبدوست-چربی دوست بالاتر نسبت به سایر پلی سوربات ها مطلوب است ([Ghosh et al., 2013](#)). می توان نتیجه گرفت که Tween 80 بعنوان یک سورفتانت نسبت به پلیمرهای زیستی جذب آب بیشتر و کمک بیشتری در به حداقل رساندن اندازه ذرات انجام می دهد.

([Qian, & McClement, 2011](#))

تجزیه و تحلیل آماری داده ها توسط نرم افزار SPSS نسخه ۲۰ انجام شد. منحنی های مربوطه در محیط EXCEL توسط نرم افزار OFFICE رسم شد.

نتایج و بحث

شناسایی ترکیب های اسانس

محتویات اسانس گیاه برگ بو *Laurus nobilis* به دست آمده از تقطیر با آب، که در دستگاه GC/MS بررسی شد در [جدول ۱](#) گزارش شده است.

با توجه به [جدول ۱](#) بیشترین مقدار ترکیب 1,8-Cineole و α-Terpinal acetate می باشد. از این ترکیبات به عنوان چاشنی، مواد معطر و خوشبو کننده مواد غذایی و در صنایع شیرینی پزی، تولیدات گوشت و همچنین صنعت دارویی در مقادیر کم استفاده می شود. از جمله کاربردهای دارویی آنها می توان به فرو نشاندن سرفه در مبتلایان به آسم، درمان عفونت های حنجره، کاهنده التهاب و درد در صورت استفاده صحیح و از بین برنده سلول های سرطان و از بین Naderi Hagibaghercandi et al., 2009

جدول ۱- ترکیبات اسانس برگ بو
Table 1- Compositions of essential oil of bay leaves

شماره Compound number	زمان نگهداری Retention Time (min)	نام ترکیب شیمیایی Name of chemical compound	ناحیه Area %	وزن مول Mol Weight (amu)
1	5.663	α -Pinene	2.617	136.125
2	6.619	Sabinene	5.197	136.125
3	6.776	β – pinene	2.006	136.125
4	8.309	1,8-Cineole	32.309	154.136
5	10.087	LINALOOL	4.808	154.136
6	12.483	L-4-terpineneol	2.083	154.136
7	12.955	α – TERPINEOL	2.826	154.136
8	15.974	δ -terpinyl acetate	2.295	198.162
9	17.058	α- Terpinyl acetate	28.061	196.146
10	17.338	Phenol, 2-methoxy-3-(2-propenyl)-	2.845	164.084
11	17.991	β – ELEMENE	1.884	204.188
12	18.504	Methyleugenol	4.919	178.099
13	18.859	Caryophyllene	2.199	204.188
14	5.663	cis-α-Bisabolene	0.957	204.188
15	6.619	Caryophyllene oxide	2.487	220.183
16	6.776	7.beta.-(1-hydroxy-1-methylethyl)- 4a.beta.-methyl-1a.beta.- decahydrocyclopropa[d]naphthalene	2.507	222.198

جدول ۲- خواص فیزیکی نانوامولسیون اسانس برگ بو

Table 2- Physical properties of bay leaf essential oil nanoemulsion

Parameter	اندازه
اندازه ذرات Particle size (nm)	92.4
پتانسیل زتا Z-average (mV)	-45.1
PDI	0.1

ترکیبات ۱,۸-Cineole و Terpinyl acetate α - می‌باشد (Maghsoodlou et al., 2015).

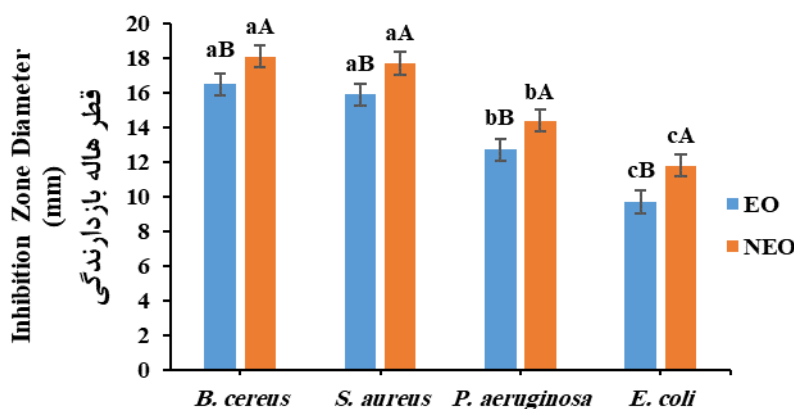
نتایج MIC و MBC اسانس و نانوامولسیون اسانس برگ بو در جدول ۳ نشان داده شده است. اسانس و نانوامولسیون اسانس برگ بو از حداقل غلظت بازدارنده رشد و حداقل غلظت کشنندگی متفاوتی برخوردار هستند. به طوری که کمترین مقدار MIC و MBC برای *B. cereus* و نانوامولسیون اسانس برگ بو مربوط به باکتری *E. coli* بود. بیشترین مقدار MIC و MBC برای اسانس و نانوامولسیون اسانس برگ بو مربوط به باکتری *E. coli* بود. آزمایش انجام شده در این آزمایش (MIC و MBC) نشان می‌دهد که نانوامولسیون تهیه شده خاصیت ضدمیکروبی بیشتری نسبت به اسانس برگ بو دارد. میزان مهار اسانس نانوامولسیون شده در برابر باکتری *E. coli* نیز به طور قابل توجهی بیشتر از اسانس خالص بود. این فعالیت با افزایش غلظت نانوامولسیون اسانس برگ بو به طور قابل توجهی افزایش می‌یابد. این پدیده را می‌توان به اثرات ترکیبی کپسولاسیون و انتشار پایدار اسانس از پوشش ماتریس نسبت داد که منجر به اثربخشی ضدمیکروبی قوی می‌شود. نانوامولسیون‌ها، به دلیل اندازه قطرات کوچک و مساحت سطح بالا، کارایی بالاتری نسبت به اسانس‌های معمولی دارند. در نتیجه، آزادسازی تدریجی اسانس‌ها از پوشش‌های خوارکی مبتنی بر نانوامولسیون به بهبود عملکرد ضدمیکروبی آن‌ها کمک می‌کند (Gholamhosseinpour et al., 2023).

فعالیت ضدمیکروبی اسانس برگ بو می‌تواند به علت وجود ترکیبات فنلی، مانند فلاونوئیدها باشد. وجود این ترکیبات را می‌توان توسط آنالیز GC-MS نشان داد. ترکیبات فنلی ساختار غشای میکروبی را تخریب، سنتز پپتیدوگلیکان را مهار و آبگردی سطح غشا باکتریایی را اصلاح می‌نمایند (Gholamhosseinpour et al., 2023). در بررسی لو و همکاران (Lu et al., 2017) نشان دادند که اسانس خالص و اسانس نانوامولسیون شده تأثیر زیادی بر رشد باکتری‌ها دارد.

مقدار PDI از ۰/۰ تا ۰/۲۵ نشان دهنده اندازه قطرات روغن یکنواخت یا توزیع تک وجهی و حالت امولسیونی پایدارتر است. در این مطالعه، استفاده از اولتراسوند منجر به مقدار PDI برابر با ۰/۰ شد که نشان دهنده موفقیت‌آمیز بودن تولید نانوامولسیون است. پتانسیل زتا بار سطحی را در سطح مشترک قطرات تعیین می‌کند. نانوامولسیون‌های تهیه شده در این مطالعه حاوی یک سورفکتانت غیر یونی (Tween 80) بود. پس می‌توان انتظار داشت که بار الکتریکی نزدیک به صفر باشد. با این حال، یک پتانسیل زتا منفی برای هر دوی آن‌ها ثبت شد. اگر مقدار مطلق پتانسیل زتا بین ۳۰ تا ۶۰ میلی ولت باشد، سیستم نانوامولسیون پایدار است (Haghju et al., 2016). مقدار پتانسیل زتا نانوامولسیون‌ها در مطالعه حاضر پایدار (۵۶ میلی ولت) بدست آمد. بنابراین دافعه الکترواستاتیکی در بین قطرات برای ثبیت نانوامولسیون تهیه شده کافی است و مکانیسم‌های الکترواستاتیک تأثیر قابل توجهی بر ثبیت آن دارد. تمامی تحقیقاتی که نانوامولسیون‌های اسانس ثبیت شده توسط پلیمرهای زیستی را تولید کردند، مقدار پتانسیل زتا مشابه را در مقایسه با نتایج این تحقیق گزارش کردند.

ارزیابی اثرات ضدمیکروبی

همانطور که در جدول ۳ و شکل ۱ نشان داده شده است، اثرات ضدمیکروبی نانوامولسیون نسبت به اسانس برگ بو به طور معنی‌داری ($p < 0/05$) بیشتر بود و منجر به کاهش معنی‌دار رشد باکتری‌های *B. cereus*, *E. coli* و *P. aeruginosa*, *S. aureus* تابعی از غلظت اسانس در نانوامولسیون بود. با توجه به نتایج، باکتری‌های گرم مثبت در مقایسه باکتری‌های گرم منفی نسبت به اسانس یا نانوامولسیون اسانس برگ بو حساس‌تر هستند. نتایج نشان داد نانوامولسیون اسانس برگ بو، بیشترین میزان اثرگذاری بر روی باکتری‌های *B. cereus* و *S. aureus* داشد. یکی از علت‌های موجود بر خاصیت ضدمیکروبی اسانس و نانوامولسیون اسانس، وجود



شکل ۱- ارزیابی اثرات ضدمیکروبی اسانس و نانوامولسیون اسانس برگ بو

Fig. 1. Evaluation of antimicrobial effects of essential oil and nanoemulsion of bay leaf essential oil

حروف کوچک لاتین متفاوت نشان دهنده اختلاف معنی دار ($P<0.05$) بین باکتری های مختلف در هر تیمار است. حروف بزرگ لاتین متفاوت نشان دهنده اختلاف معنی دار ($P<0.05$) بین دو تیمار است.

Different small Latin letters indicate significant differences ($P<0.05$) between different bacteria in each treatment. Different capital letters indicate significant differences ($P<0.05$) between two treatments.

جدول ۳- ارزیابی اثرات ضدمیکروبی اسانس و نانوامولسیون اسانس برگ بو

Table 3- Evaluation of antimicrobial effects of essential oil and nanoemulsion of bay leaf essential oil

	<i>B. cereus</i>	<i>S. aureus</i>	<i>P. aeruginosa</i>	<i>E. coli</i>
EO				
MIC ($\mu\text{g mL}^{-1}$)	$4.25 \pm 0.10^{\text{bD}}$	$4.75 \pm 0.10^{\text{bC}}$	$6.75 \pm 0.25^{\text{bB}}$	$7.25 \pm 0.20^{\text{bA}}$
MBC ($\mu\text{g mL}^{-1}$)	$5.00 \pm 0.18^{\text{aD}}$	$5.50 \pm 0.30^{\text{aC}}$	$7.25 \pm 0.20^{\text{aB}}$	$8.00 \pm 0.15^{\text{aA}}$
NEO				
MIC ($\mu\text{g mL}^{-1}$)	$2.50 \pm 0.09^{\text{dD}}$	$3.25 \pm 0.09^{\text{dC}}$	$4.75 \pm 0.10^{\text{dB}}$	$5.75 \pm 0.25^{\text{dA}}$
MBC ($\mu\text{g mL}^{-1}$)	$3.25 \pm 0.20^{\text{cD}}$	$3.75 \pm 0.14^{\text{cC}}$	$5.75 \pm 0.25^{\text{cB}}$	$6.25 \pm 0.15^{\text{cA}}$

نتایج به صورت میانگین \pm انحراف میار گزارش شده اند.

حروف لاتین کوچک متفاوت در هر ستون نشان دهنده وجود اختلاف معنی دار ($P<0.05$) است.

حروف لاتین بزرگ متفاوت در هر ردیف نشان دهنده وجود اختلاف معنی دار ($P<0.05$) است.

The results are reported as mean \pm standard deviation.

Different small Latin letters in each column indicate significant differences ($P<0.05$).

Different capital letters in each row indicate significant differences ($P<0.05$).

سنجهش قدرت آنتی اکسیدانی کاهش دهنده آهن (FRAP)

بطور گسترده گزارش شده است که ارتباط نزدیکی بین فعالیت آنتی اکسیدانی و قدرت کاهش آهن وجود دارد. نتایج در **شکل ۳** نشان داده شده است. پس از امولسیون سازی، قدرت احیای آهن اسانس به وضوح افزایش یافت. بیشترین مقدار سنجهش FRAP اسانس و نانوامولسیون اسانس برگ بو در غلظت (g^{-1}) 5 و کمترین آن در غلظت (g^{-1}) $0/25$ مشاهده شد. نتایج کاهش فعالیت غلظت های مختلف اسانس و نانوامولسیون اسانس برگ بو نشان داد که با افزایش غلظت اسانس، فعالیت FRAP افزایش می یابد. داده های حاصل از سنجهش فعالیت های آنتی اکسیدانی نشان داد که اسانس و نانوامولسیون در مقایسه با Butylated hydroxytoluene

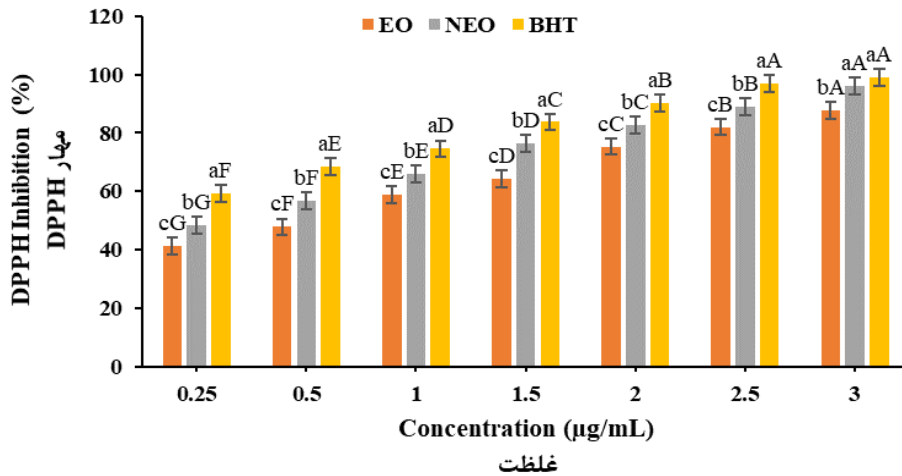
ارزیابی اثرات آنتی اکسیدانی

DPPH فعالیت مهار رادیکال آزاد

خواص آنتی اکسیدانی اسانس و نانوامولسیون اسانس برگ بو با سنجش DPPH در **شکل ۲** مورد ارزیابی قرار گرفت. با افزایش اسانس و نانوامولسیون اسانس برگ بو خاصیت آنتی اکسیدانی افزایش یافت. فعالیت مهار رادیکال DPPH اسانس برگ بو کمتر از DPPH نانوامولسیون اسانس برگ بو بوده و سپس کمتر از نمونه شاهد (BHT) بوده است. وجود ترکیبات α -Terpinyl acetate و ۱,۸-Cineole درون اسانس خاصیت آنتی اکسیدانی را افزایش می دهد (Maghsoudlou et al., 2015).

آنتی‌اکسیدانی و ضدمیکروبی آن‌ها را بهبود می‌بخشد و طیف وسیعی از نگهدارنده‌های طبیعی را به غذا ارائه می‌دهد (Tometri *et al.*, 2018; Hossain *et al.*, 2020; Sagar *et al.*, 2020).

توانایی کمتری داشتند، اما کاملاً نانومولسیون اثر ضد رادیکال و آنتی‌اکسیدانی بالاتری نسبت به انسانس آزاد داشت. استفاده از انسانس‌ها و عصاره‌های گیاهی در قالب نانوساختارهای غذایی، اثر

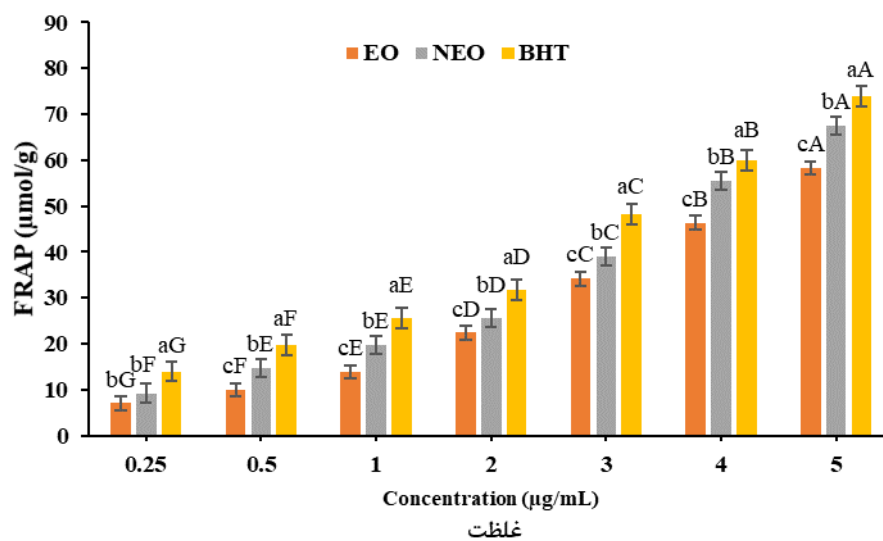


شکل ۲- فعالیت مهار رادیکال آزاد DPPH انسانس و نانومولسیون انسانس برگ بو

Fig. 2. DPPH free radical scavenging activity of Bay leaf essential oil and nanoemulsion

حروف کوچک لاتین متفاوت نشان‌دهنده اختلاف معنی‌دار ($P<0.05$) بین نمونه‌های مختلف در هر غلظت است. حروف بزرگ لاتین متفاوت نشان‌دهنده اختلاف معنی‌دار ($P<0.05$) بین هر نمونه در غلظت‌های متفاوت است.

Different small Latin letters indicate significant differences ($P<0.05$) between different samples in each concentration. Different Latin capital letters indicate significant differences ($P<0.05$) between each sample at different concentrations.



شکل ۳- سنجش قدرت آنتی‌اکسیدانی کاهش دهنده آهن

Fig. 3. Measuring the antioxidant power of reducing iron

حروف کوچک لاتین متفاوت نشان‌دهنده اختلاف معنی‌دار ($P<0.05$) بین نمونه‌های مختلف در هر غلظت است. حروف بزرگ لاتین متفاوت نشان‌دهنده اختلاف معنی‌دار ($P<0.05$) بین هر نمونه در غلظت‌های متفاوت است.

Different small Latin letters indicate significant differences ($P<0.05$) between different samples in each concentration. Different Latin capital letters indicate significant differences ($P<0.05$) between each sample at different concentrations.

فسفولیپیدی آن و آسیب رساندن به سیستم‌های آنزیمی، غشای سلولی را مختل کنند (Maghsoudlou *et al.*, 2015).

ارزیابی خواص آنتی اکسیدانی فیلم ABTS آزمون

در آزمون ABTS همانطور که از شکل ۴ مشخص است در دو غلظت ۱/۵ و ۳٪ یک رابطه مستقیم بین فیلم صمغ دانه مرو حاوی اسانس برگ بو و فیلم حاوی نانومولسیون اسانس برگ بو و قدرت آن‌ها در مهار رادیکال ABTS وجود داشته، به طوری که در غلظت ۳ درصد، قدرت آنتی رادیکالی آن افزایش یافته است. همچنین نتایج نشان داد فیلم حاوی اسانس اثر بازدارندگی بیشتری نسبت به نمونه شاهد (فیلم بدون اسانس) دارد اما میزان بازدارندگی فیلم حاوی اسانس نسبت به فیلم حاوی نانومولسیون اسانس در هر دو غلظت به صورت ضعیفتر بوده است. در بررسی که توسط علیزاده آملی و همکاران (Alizadeh Amoli *et al.*, 2021) انجام شد، نشان داد که در این آزمون درصد بازدارندگی اسانس تقریباً در تمام غلظتها به طور قابل توجهی بالا بوده است. به علاوه یک اثر وابسته به غلظت دیده شد بدین مفهوم که با افزایش غلظت اسانس، خاصیت حذف رادیکال آزاد نیز بیشتر می‌شود.

آزمون DPPH

فعالیت مهار رادیکال DPPH به طور قابل توجهی از ۱/۲ درصد برای فیلم شاهد به ۶۹/۵۴ درصد برای فیلم صمغ دانه مرو حاوی ۳ درصد نانومولسیون اسانس برگ بو افزایش یافت (شکل ۵).

ارزیابی اثرات ضدمیکروبی فیلم

فعالیت ضدبacterیایی فیلم‌های تهیه شده حاوی غلظت‌های مختلف (۱/۵ و ۳٪) اسانس و نانومولسیون اسانس در برابر چهار سویه باکتریایی پاتوژن انتخاب شده با ارزیابی قطر مناطق بازدارنده ارزیابی شد. از آنجایی که مهار رشد باکتری‌های *S. B. cereus* و *E. coli* و *P. aeruginosa aureus* بسیار مهم است، استفاده از فیلم صمغ دانه مرو حاوی اسانس و نانومولسیون اسانس برگ بو تأثیر مثبت بر روی باکتری‌های مورد مطالعه داشت (جدول ۴). با توجه به نتایج مشخص شد که فیلم صمغ دانه مرو به تنها بیج اثر بازدارنده‌ای بر روی هر یک این سویه‌ها ندارد. فیلم‌های تهیه شده از غلظت‌های متفاوت اسانس یا نانومولسیون اسانس برگ بو بر روی باکتری‌های گرم مثبت بیشترین تأثیر و بر روی باکتری *E. coli* کمترین تأثیر را دارند. ولی با توجه به این آزمایش مناسب‌ترین فیلم، فیلم با ۳٪ نانومولسیون اسانس برگ بو می‌باشد، زیرا بیشترین تأثیر را داشت. شریفی فر و همکاران (Sharififar *et al.*, 2007) اثرات ضدبacterیایی فیلم‌های کربوکسی متیل سلولز حاوی اسانس آویشن شیرازی را علیه پنج باکتری بیماری‌زا از جمله سودوموناس آئرورینوزا، سالمونلا تیفی موریوم، اشريشیا کلی، باسیلوس سرئوس و استافیلکوکوس اورئوس بررسی کردند. آن‌ها اشاره کردند که اسانس آویشن شیرازی بر روی باکتری‌های گرم مثبت مؤثرتر از باکتری‌های گرم منفی است، که احتمالاً به دلیل نفوذ ناپذیری غشای خارجی باکتری‌های گرم منفی به اجزای چربی دوست است. ترکیبات ۱-۸-*α*-Terpinyl acetate و Cineole برگ بو مشخص شدند که مانع رشد میکروبی می‌شوند. وجود این ترکیبات درون فیلم صمغ دانه مرو می‌توانند با حمله به لایه دوگانه

جدول ۴- ارزیابی اثرات ضدمیکروبی فیلم

Table 4- Evaluation of the antimicrobial effects of the film

Sample	Inhibition Diameter Zone (mm)			
	<i>B. cereus</i>	<i>S. aureus</i>	<i>P. aeruginosa</i>	<i>E. coli</i>
Control (SSG)	ND ^e	ND ^e	ND ^e	ND ^e
SSG -1.5%EO	5.92±0.02 ^{dA}	6.33±0.04 ^{dA}	2.91±0.01 ^{dB}	2.01±0.02 ^{dB}
SSG -3%EO	7.81±0.02 ^{cA}	8.05±0.10 ^{cA}	5.44±0.01 ^{cB}	3.48±0.05 ^{cC}
SSG -1.5%NEO	19.25±0.13 ^{bA}	20.79±0.11 ^{bA}	12.31±0.09 ^{bB}	10.52±0.12 ^{bC}
SSG -3%NEO	24.11±0.09 ^{aA}	23.62±0.16 ^{aA}	17.10±0.13 ^{aB}	14.65±0.21 ^{aC}

^eND: تشخیص داده نشد.

حروف لاتین کوچک متفاوت در هر ستون نشان‌دهنده وجود اختلاف معنی دار ($P<0.05$) است.

حروف لاتین بزرگ متفاوت در هر ردیف نشان‌دهنده وجود اختلاف معنی دار ($P<0.05$) است.

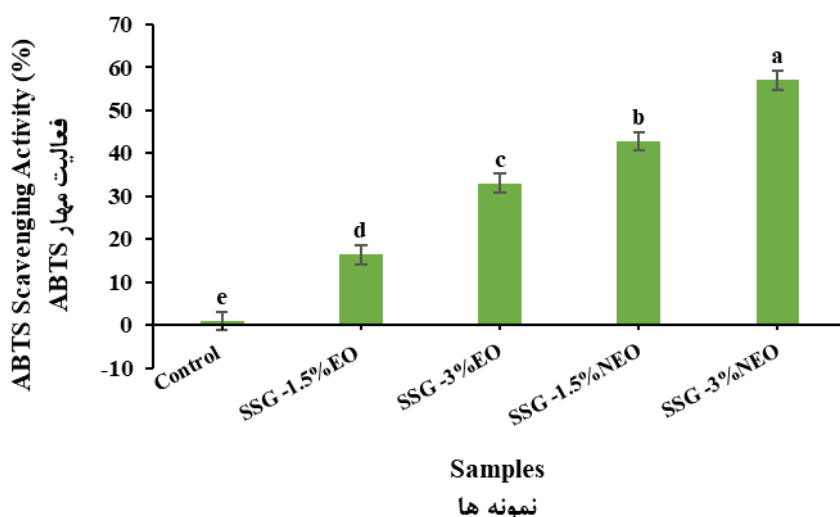
ND: Not detected.

Different small Latin letters in each column indicate significant differences ($P<0.05$).

Different capital letters in each row indicate significant differences ($P<0.05$).

خوارکی مبتنی بر نانوامولسیون حاوی اسانس زنجیبل و تأثیر آن بر ایمنی و ویژگی‌های کیفی فیله سینه مرغ پرداختند. نتایج نشان داد که بیشترین فعالیت مهاری توسط محلول فیلم مبتنی بر نانوامولسیون اسانس زنجیبل با 3% BHT بوده است. بعد از آن محلول فیلم مبتنی بر نانوامولسیون اسانس زنجیبل خالص بیشترین فعالیت آنتی‌اکسیدانی را داشت.

فعالیت آنتی‌اکسیدانی فیلم صمغ دانه مرو حاوی 3% نانوامولسیون برگ بو بیشترین تأثیر را نسبت به نمونه کنترل داشت. با توجه به شکل ۵ کمترین میزان فعالیت آنتی‌اکسیدانی بجز نمونه شاهد مربوط به فیلم صمغ دانه مرو حاوی اسانس برگ بو بود. بنابراین وجود نانوامولسیون اسانس برگ بو در فیلم با هر میزان غلظت تأثیر بیشتر نسبت به اسانس برگ بو داشت. همچنین نوری و همکاران (Noori *et al.*, 2017) به بررسی کارایی ضدмикروبی و آنتی‌اکسیدانی پوشش

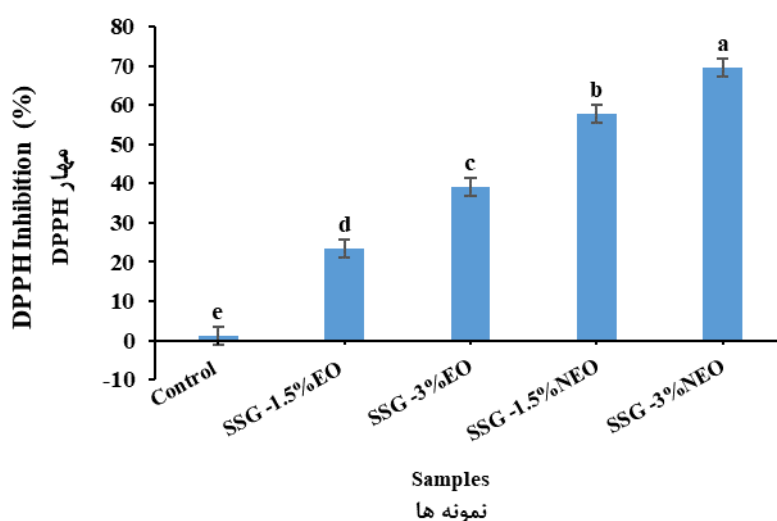


شکل ۴- ارزیابی خواص آنتی‌اکسیدانی فیلم

Fig. 4. Evaluation of antioxidant properties of the film

حروف کوچک لاتین متفاوت نشان‌دهنده اختلاف معنی‌دار ($P<0.05$) است.

Different lowercase Latin letters indicate significant differences ($P<0.05$).



شکل ۵- فعالیت مهار رادیکال آزاد DPPH فیلم

Fig. 5. DPPH free radical scavenging activity of the film

حروف کوچک لاتین متفاوت نشان‌دهنده اختلاف معنی‌دار ($P<0.05$) است.

Different lowercase Latin letters indicate a significant difference ($P<0.05$).

میزان مشارکت

حدیث تقواطلب: تحقیق و بررسی، مفهوم‌سازی، روش‌شناسی، منابع، نرم‌افزار، نوشتمن-پیش‌نویس اصلی
درنوش جعفرپور: تحلیل رسمی، مدیریت پروژه، ناظارت، مدیریت داده‌ها، اعتبارسنجی، نوشتمن-بررسی و ویرایش

منابع تأمین مالی

این تحقیق هیچ کمک مالی خاصی از بخش‌های عمومی، تجاری یا غیر انتفاعی دریافت نکرد.

نتیجه‌گیری

نتایج تحقیق حاضر نشان داد که فیلم صمغ دانه مرو حاوی ۳٪ نانومولسیون اسانس به عنوان مناسب‌ترین تیمار دارای بیشترین خاصیت ضدبacterیایی و آنتی‌اکسیدانی نسبت به فیلم حاوی اسانس برگ بو می‌باشد و مشخص شد که این فیلم پتانسیل استفاده به عنوان بسته‌بندی فعال یا پوشش فعال روی مواد غذایی را دارد. لیکن آزمایش‌های بیشتری برای تعیین اثرات آن‌ها بر خواص حسی محصولات بسته‌بندی شده و همچنین رفتار آن‌ها در مواد غذایی با محتوای رطوبت مختلف ضروری است.

References

- Alizadeh Amoli, Z., Mehdizadeh, T., & Tajik, H. (2021). Comparative investigation of antimicrobial and antioxidant properties of ethanolic extract and essential oil of water mint plant (*Mentha aquatic L.*). *Journal of Medical Sciences Studies*, 31(11), 863-873. <http://umj.umsu.ac.ir/article-1-4911-en.html>
- Amorati, R., Foti, M.C., & Valgimigli, L. (2013). Antioxidant activity of essential oils. *Journal of Agricultural and Food Chemistry*, 61(46), 10835-10847. <https://doi.org/10.1021/jf403496k>
- Azizkhani, M., Jafari Kiasari, F., Tooryan, F., Shahavi, M.H., & Partovi, R. (2021). Preparation and evaluation of food-grade nanoemulsion of tarragon (*Artemisia dracunculus L.*) essential oil: antioxidant and antibacterial properties. *Journal of Food Science and Technology*, 58, 1341-1348. <https://doi.org/10.1007/s13197-020-04645-6>
- Badr, M.M., Badawy, M.E., & Taktak, N.E. (2021). Characterization, antimicrobial activity, and antioxidant activity of the nanoemulsions of *Lavandula spica* essential oil and its main monoterpenes. *Journal of Drug Delivery Science and Technology*, 65, 102732. <https://doi.org/10.1016/j.jddst.2021.102732>
- Benzie, I.F., & Strain, J.J. (1996). The ferric reducing ability of plasma (FRAP) as a measure of "antioxidant power": the FRAP assay. *Analytical Biochemistry*, 239(1), 70-76. <https://doi.org/10.1006/abio.1996.0292>
- da Silva Dannenberg, G., Funck, G.D., dos Santos Cruxen, C.E., de Lima Marques, J., da Silva, W.P., & Fiorentini, Â.M. (2017). Essential oil from pink pepper as an antimicrobial component in cellulose acetate film: Potential for application as active packaging for sliced cheese. *LWT-Food Science and Technology*, 81, 314-318. <https://doi.org/10.1016/j.lwt.2017.04.002>
- Dzah, C.S., Duan, Y., Zhang, H., Wen, C., Zhang, J., Chen, G., & Ma, H. (2020). The effects of ultrasound assisted extraction on yield, antioxidant, anticancer and antimicrobial activity of polyphenol extracts: A review. *Food Bioscience*, 35, 100547. <https://doi.org/10.1016/j.fbio.2020.100547>
- Galus, S., & Kadzińska, J. (2015). Food applications of emulsion-based edible films and coatings. *Trends in Food Science & Technology*, 45(2), 273-283. <https://doi.org/10.1016/j.tifs.2015.07.011>
- Gholamhosseinpour, A., Hashemi, S.M.B., & Jafarpour, D. (2023). Nanoemulsion of *Satureja sahendica* bornm essential oil: Antibacterial and antioxidant activities. *Journal of Food Measurement and Characterization*, 17(1), 317-323. <https://doi.org/10.1007/s11694-022-01615-8>
- Ghosh, V., Mukherjee, A., & Chandrasekaran, N. (2013). Formulation and characterization of plant essential oil based nanoemulsion: evaluation of its larvicidal activity against *Aedes aegypti*. *Asian Journal of Chemistry*, 25 (Supplementary Issue), S321. <http://www.asianjournalofchemistry.co.in/User/SearchArticle.aspx?Volume=25&Issue=10&Article=&Criteria=>
- Haghju, S., Beigzadeh, S., Almasi, H., & Hamishehkar, H. (2016). Chitosan films incorporated with nettle (*Urtica dioica L.*) extract-loaded nanoliposomes: I. Physicochemical characterisation and antimicrobial properties. *Journal of Microencapsulation*, 33(5), 438-448. <https://doi.org/10.1080/02652048.2016.1208294>
- Hossain, M.B., Lebelle, J., Birsan, R., & Rai, D.K. (2018). Enrichment and assessment of the contributions of the major polyphenols to the total antioxidant activity of onion extracts: A fractionation by flash chromatography approach. *Antioxidants*, 7(12), 175. <https://doi.org/10.3390/antiox7120175>
- Jafarpour, D. (2022). The effect of heat treatment and thermosonication on the microbial and quality properties of green olive. *Journal of Food Measurement and Characterization*, 16(3), 2172-2180. <https://doi.org/10.1007/s11694-022-01322-4>
- Jafarpour, D., Hashemi, S.M.B., & Ghaedi, A. (2021a). Study the antioxidant properties of different parts of saffron extract and their application in cream. *Journal of Food Science and Technology (Iran)*, 18(113), 289-299. <http://fsct.modares.ac.ir/article-7-43533-en.html>

15. Jafarpour, D., Hashemi, S.M.B., & Ghaedi, A. (2021b). Investigating the antibacterial properties of the extract of different parts of Zagharan and its use in cream. *Iranian Journal of Food Science and Industry*, 115(18), 339-249. <https://doi.org/10.52547/fscf.18.115.27>
16. Jouki, M., Khazaei, N., Ghasemlou, M., & HadiNezhad, M. (2013). Effect of glycerol concentration on edible film production from cress seed carbohydrate gum. *Carbohydrate Polymers*, 96(1), 39-46. <https://doi.org/10.1016/j.carbpol.2013.03.077>
17. Khodri, N., & Romiani, L. (2019). Evaluation of the effects of Shirazi thyme essential oil nanoemulsion on the chemical, microbial and sensory characteristics of silver carp fillet. *Journal of Nutritional Sciences and Food Industries of Iran*, 3(14), 63-74. <http://nsft.sbm.ac.ir/article-1-2647-en.html>
18. Lou, Z., Chen, J., Yu, F., Wang, H., Kou, X., Ma, C., & Zhu, S. (2017). The antioxidant, antibacterial, antibiofilm activity of essential oil from *Citrus medica* L. var. sarcodactylis and its nanoemulsion. *LWT*, 80, 371-377. <https://doi.org/10.1016/j.lwt.2017.02.037>
19. Maghsoodlou, M.T., Valizadeh, J., Mottaghpisheh, J., & Rahneshan, N. (2015). Evaluation of the essential oil composition and antioxidant activity of *Achillea eriophora* as a medicinal plant. *Journal of Medicinal Herbs*, 5(4), 187-192. <https://doi.org/10.22067/ifstrj.v1395i.051210>
20. Mirzai, S.M., & Mohammadi Sani, A. (2017). The effect of the use of myrtle gum on improving the physicochemical and sensory properties of low-fat ice cream. *Innovation in Food Science and Technology*, 9(3), 97-103. <https://doi.org/10.21608/jfds.2020.106364>
21. Mohammadi, M., Yekta, R., Hosseini, H., Shahraz, F., Hosseini, S.M., Shojaee-Aliabadi, S., & Mohammadi, A. (2023). Characterization of a novel antimicrobial film based on sage seed gum and *Zataria multiflora* Boiss essential oil. *Journal of Food Measurement and Characterization*, 17(1), 167-177. <https://doi.org/10.1007/s11694-022-01509-9>
22. Mu, C., Guo, J., Li, X., Lin, W., & Li, D. (2012). Preparation and properties of dialdehyde carboxymethyl cellulose crosslinked gelatin edible films. *Food Hydrocolloids*, 27(1), 22-29. <https://doi.org/10.1016/j.foodhyd.2011.09.005>
23. Naderi Hagibaghercandi, M., Sefidkon, F., Poorherave, M.R., & Mirza, M. (2009). Extraction, identification and comparison of the constituent compounds of the essential oil of the leaf, stem and fruit of Bay leaf (*Laurus nobilis* L.). *Scientific-Research Quarterly of Medicinal and Aromatic Plants of Iran*, 25(2), 216-227.
24. Noori, S., Zeynali, F., & Almasi, H. (2018). Antimicrobial and antioxidant efficiency of nanoemulsion-based edible coating containing ginger (*Zingiber officinale*) essential oil and its effect on safety and quality attributes of chicken breast fillets. *Food control*, 84, 312-320. <https://doi.org/10.1016/j.foodcont.2017.08.015>
25. Qian, C., & McClements, D.J. (2011). Formation of nanoemulsions stabilized by model food-grade emulsifiers using high-pressure homogenization: Factors affecting particle size. *Food Hydrocolloids*, 25(5), 1000-1008. <https://doi.org/10.1016/j.foodhyd.2010.09.017>
26. Sagar, N.A., Pareek, S., & Gonzalez-Aguilar, G.A. (2020). Quantification of flavonoids, total phenols and antioxidant properties of onion skin: A comparative study of fifteen Indian cultivars. *Journal of Food Science and Technology*, 57, 2423-2432. <https://doi.org/10.1007/s13197-020-04277-w>
27. Sajjadi, S.A., Sarhadi, H., & Safarzaei, A. (2020). Physicochemical, antioxidant and antimicrobial properties of an active film based on chitosan and Barijah essential oil, *Innovation in Food Science and Technology*, 15(1), 61-76. <https://doi.org/10.30495/JFST.2021.685706>
28. Severino, R., Ferrari, G., Vu, K.D., Donsi, F., Salmieri, S., & Lacroix, M. (2015). Antimicrobial effects of modified chitosan based coating containing nanoemulsion of essential oils, modified atmosphere packaging and gamma irradiation against *Escherichia coli* O157: H7 and *Salmonella typhimurium* on green beans. *Food Control*, 50, 215-222. <https://doi.org/10.1016/j.foodcont.2014.08.029>
29. Sharififar, F., Moshafi, M.H., Mansouri, S.H., Khodashenas, M., & Khoshnoodi, M. (2007). In vitro evaluation of antibacterial and antioxidant activities of the essential oil and methanol extract of endemic *Zataria multiflora* Boiss. *Food Control*, 18(7), 800-805. <https://doi.org/10.1016/j.foodcont.2006.04.002>
30. Stubenrauch, K., Wessels, U., Vogel, R., & Schleypen, J. (2009). Evaluation of a biosensor immunoassay for simultaneous characterization of isotype and binding region of human anti-tocilizumab antibodies with control by surrogate standards. *Analytical Biochemistry*, 390(2), 189-196. <https://doi.org/10.1016/j.ab.2009.04.021>
31. Tometri, S.S., Ahmady, M., Ariaiei, P., & Soltani, M.S. (2020). Extraction and encapsulation of *Laurus nobilis* leaf extract with nano-liposome and its effect on oxidative, microbial, bacterial and sensory properties of minced beef. *Journal of Food Measurement and Characterization*, 14, 3333-3344. <https://doi.org/10.1007/s11694-020-00578-y>
32. Wongnimitkul, N., Auiha, B., Rurkruthairat, P., & Borompichaichartkul, C. (2009). *Production of Konjac Glucomannan antimicrobial film for extending shelf life of fresh cut tomato*. In Southeast Asia Symposium on Quality and Safety of Fresh and Fresh-Cut Produce, 875 (pp. 251-256). <https://doi.org/10.17660/ActaHortic.2010.875.31>